

**СХЕМА ГРАВИТАЦИОННЫХ АНОМАЛИЙ**  
Масштаб 1 : 2 500 000

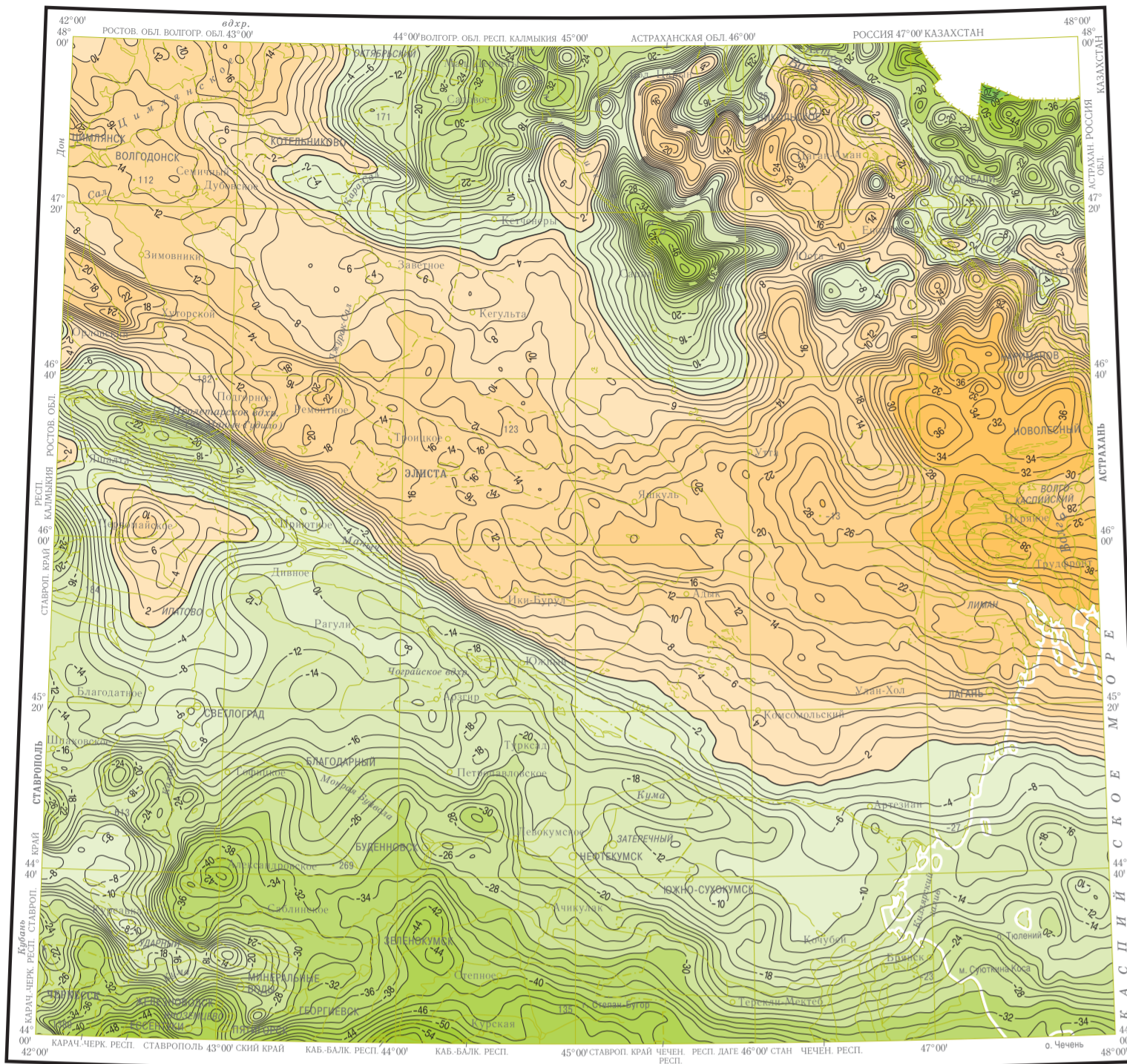


Схема составлена в ФГУП "Кавказгеоинформ" И.И. Грозовым и коллективом авторов: С.М. Абрамова, Д.В. Гутман, А.С. Крестин, Е.В. Дмитриева  
Редактор В.Ф. Салпаев

Шкала интенсивности (мгал)

Изонамалы  $\Delta g$  в мГал  
Положительные и отрицательные  
Нулевые

**СХЕМА АНОМАЛЬНОГО МАГНИТНОГО ПОЛЯ**  
Масштаб 1 : 2 500 000

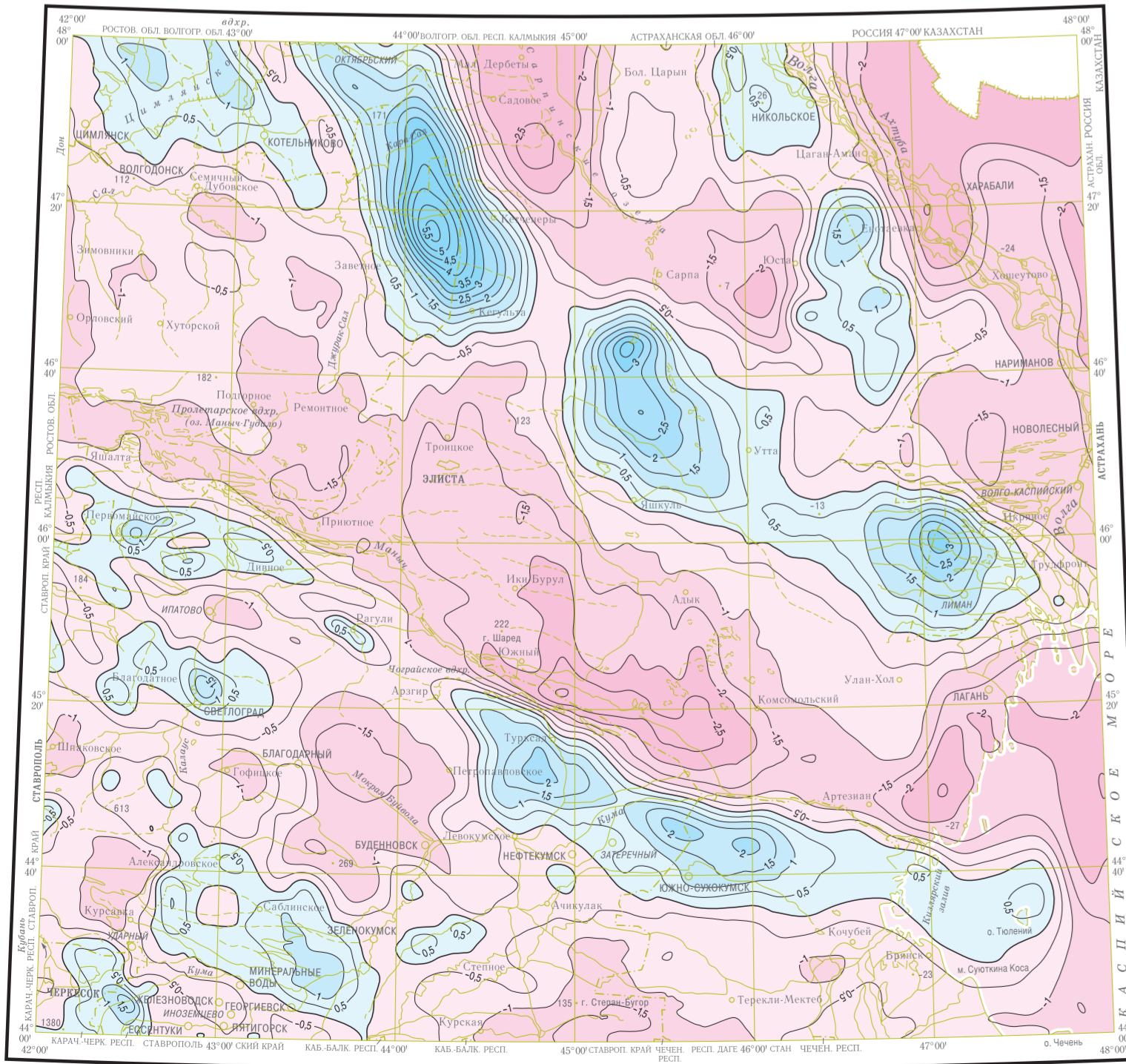


Схема составлена в ФГУП "Кавказгеоинформ" И.И. Грозовым и коллективом авторов: С.М. Абрамова, Д.В. Гутман, А.С. Крестин, Е.В. Дмитриева  
Редактор В.Ф. Салпаев

Шкала интенсивности (нТл)

Изопины ( $\Delta T_{10}^{10^3}$  в нТл)  
Положительные и отрицательные  
Нулевые

**СХЕМА ГЛУБИННОГО СТРОЕНИЯ**  
Масштаб 1 : 2 500 000

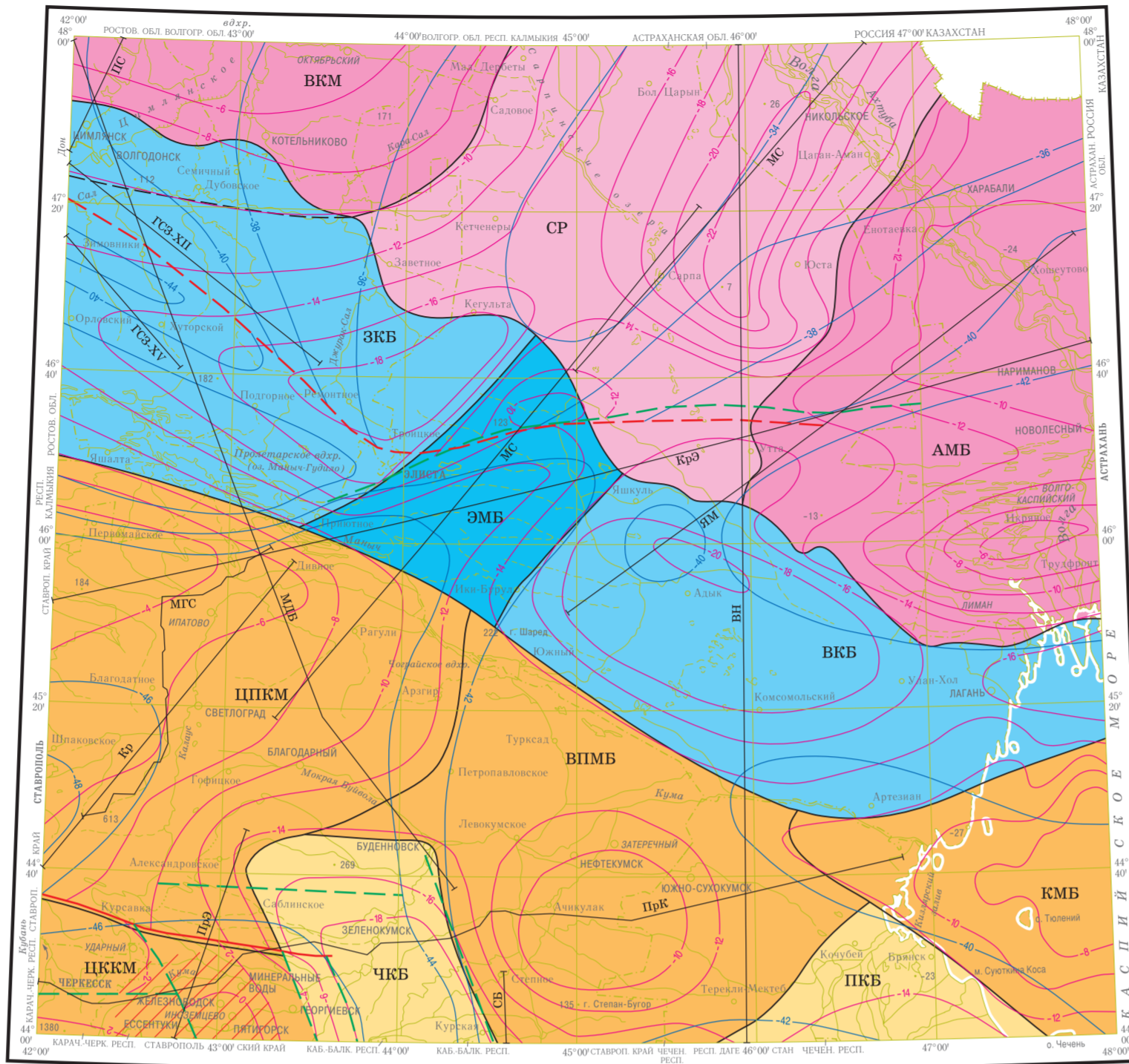
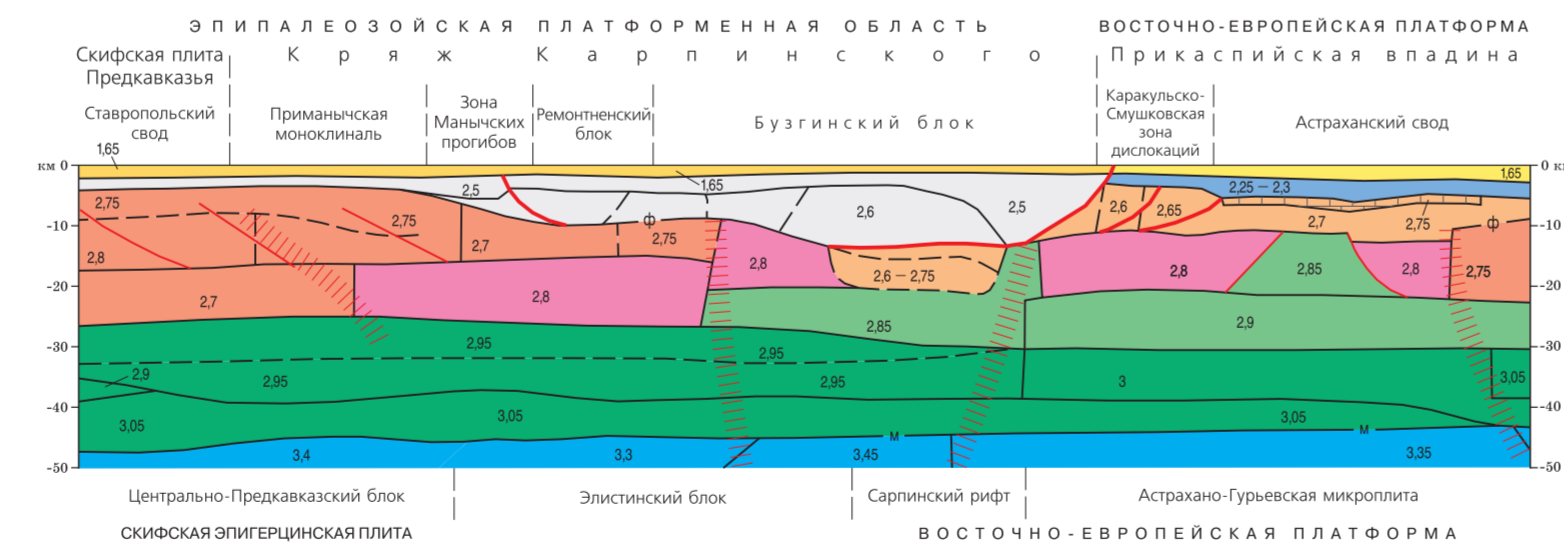


Схема составлена в ФГУП "Кавказгеоинформ" И.И. Грозовым с использованием материалов: А.Г. Шемелько, А.В. Егоркина, С.А. Костяченко, Г.В. Красногвардейца, С.У. Кухмазова, В.Г. Крива, И.Ф. Гудкова, В.Г. Магличева и др.

**УСЛОВНЫЕ ОБОЗНАЧЕНИЯ**

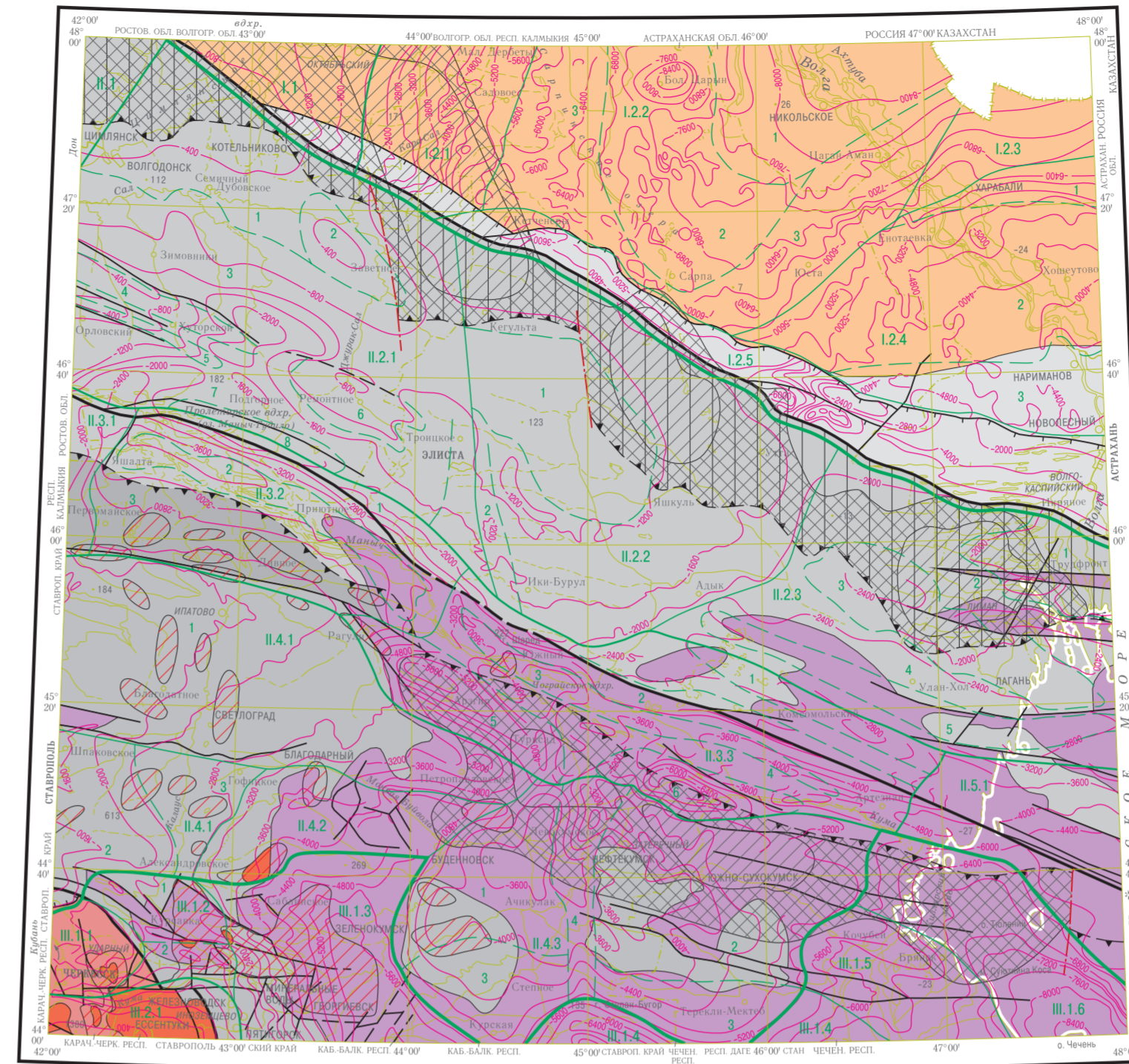
- |  |  |  |
|--|--|--|
| <span style="display: inline-block; width: 10px; height: 10px; background-color: #f08080; border: 1px solid black;"></span> Восточно-Европейская платформа         | <span style="display: inline-block; width: 10px; height: 10px; background-color: #8080ff; border: 1px solid black;"></span> а – кристаллические массивы и метабазы со средней мощностью консолидированной коры, б – блоки и рифты с минимальной мощностью консолидированной коры | <span style="display: inline-block; width: 10px; height: 10px; background-color: #8080ff; border: 1px solid black;"></span> Срединно-азиатский а – поверхности Мохо, б – рельефа кристаллического фундамента, км |
| <span style="display: inline-block; width: 10px; height: 10px; background-color: #8080ff; border: 1px solid black;"></span> Донецко-Каспийская складчатая система  | <span style="display: inline-block; width: 10px; height: 10px; background-color: #8080ff; border: 1px solid black;"></span> Границы блоков   | <span style="display: inline-block; width: 10px; height: 10px; background-color: #8080ff; border: 1px solid black;"></span> Скрытая граница блоков   |
| <span style="display: inline-block; width: 10px; height: 10px; background-color: #8080ff; border: 1px solid black;"></span> Скифская эпигерцинская плита           | <span style="display: inline-block; width: 10px; height: 10px; background-color: #8080ff; border: 1px solid black;"></span> Профили глубинных исследований, методы, год завершения работ   | <span style="display: inline-block; width: 10px; height: 10px; background-color: #8080ff; border: 1px solid black;"></span> СВ – Степное-Бакурские, ГСЗ, 1961 г.   |
| <b>ВКМ</b>   | <span style="display: inline-block; width: 10px; height: 10px; background-color: #8080ff; border: 1px solid black;"></span> Глубинные мантийные разломы: а – достоверные, б – предполагаемые   | <span style="display: inline-block; width: 10px; height: 10px; background-color: #8080ff; border: 1px solid black;"></span> ВВ – Волгоград-Намичевань, ГСЗ, 1964 г.  |
| <span style="display: inline-block; width: 10px; height: 10px; background-color: #8080ff; border: 1px solid black;"></span> Коревые разломы предполагаемые         | <span style="display: inline-block; width: 10px; height: 10px; background-color: #8080ff; border: 1px solid black;"></span> Зона нарушения поверхности Мохоравичча   | <span style="display: inline-block; width: 10px; height: 10px; background-color: #8080ff; border: 1px solid black;"></span> ВПС – Песчанкопская-Суворовская, ГСЗ, 1964 г.  |
| <span style="display: inline-block; width: 10px; height: 10px; background-color: #8080ff; border: 1px solid black;"></span> Зона нарушения поверхности Мохоравичча |  | <span style="display: inline-block; width: 10px; height: 10px; background-color: #8080ff; border: 1px solid black;"></span> КФР – Краснодар-Эмба (Заполит 27), МГЗ, 1989 г.                                      |
|  |  | <span style="display: inline-block; width: 10px; height: 10px; background-color: #8080ff; border: 1px solid black;"></span> ЯМ – Якуты-Маджарские, МГЗ, 1993 г.  |
|  |  | <span style="display: inline-block; width: 10px; height: 10px; background-color: #8080ff; border: 1px solid black;"></span> МС – Мамань-Сарпа, МГЗ, 1993 г.  |
|  |  | <span style="display: inline-block; width: 10px; height: 10px; background-color: #8080ff; border: 1px solid black;"></span> Кр – Краснополюский, МОЗ-МТЗ, 2000 г.  |
|  |  | <span style="display: inline-block; width: 10px; height: 10px; background-color: #8080ff; border: 1px solid black;"></span> ПЗР – Приазовский, МОЗ-МТЗ, 2000 г.  |
|  |  | <span style="display: inline-block; width: 10px; height: 10px; background-color: #8080ff; border: 1px solid black;"></span> МТС – Мамань-Старополе (г.г.ЕВ), МОГТ, 2002 г.                                       |
|  |  | <span style="display: inline-block; width: 10px; height: 10px; background-color: #8080ff; border: 1px solid black;"></span> МДВ – Морозовск-Дивное-Буденово, ГСЗ-МОЗ-ОП, отработаны ЦРГИ ГЕОН                    |
|  |  | <span style="display: inline-block; width: 10px; height: 10px; background-color: #8080ff; border: 1px solid black;"></span> ПРК – Предкавказский, МОЗ-МТЗ, отработаны ФГУП "Кавказгеоинформ"                     |

**ГЕОЛОГО-ГЕОФИЗИЧЕСКАЯ МОДЕЛЬ ЗЕМНОЙ КОРЫ ВОСТОЧНО-ЕВРОПЕЙСКОЙ ПЛАТФОРМЫ И ЭПИПАЛЕОАЗОВСКОЙ ПЛАТФОРМЕННОЙ ОБЛАСТИ по линии профиля ГСЗ Краснодар-Эмба (КрЭ)**



- УСЛОВНЫЕ ОБОЗНАЧЕНИЯ**
- |   |   |
|---|---|
| <span style="display: inline-block; width: 10px; height: 10px; background-color: #ffff00; border: 1px solid black;"></span> ОСАДочный чехол ПРИКАСПСКОЙ впадины   | <span style="display: inline-block; width: 10px; height: 10px; background-color: #ff4500; border: 1px solid black;"></span> Верхний "гранитный"   |
| <span style="display: inline-block; width: 10px; height: 10px; background-color: #8080ff; border: 1px solid black;"></span> Солесей метаконгломерат и нижняя часть надолесового метаконгломерата        | <span style="display: inline-block; width: 10px; height: 10px; background-color: #8080ff; border: 1px solid black;"></span> Промежуточный   |
| <span style="display: inline-block; width: 10px; height: 10px; background-color: #8080ff; border: 1px solid black;"></span> Подолесовый терригенно-карбонатный и осадочно-вулканический метаконгломерат | <span style="display: inline-block; width: 10px; height: 10px; background-color: #8080ff; border: 1px solid black;"></span> Нижний "базальтовый"  |
| <span style="display: inline-block; width: 10px; height: 10px; background-color: #8080ff; border: 1px solid black;"></span> Карбонатный массив  | <span style="display: inline-block; width: 10px; height: 10px; background-color: #8080ff; border: 1px solid black;"></span> Верхняя мантия  |
| <span style="display: inline-block; width: 10px; height: 10px; background-color: #8080ff; border: 1px solid black;"></span> ЭПИПАЛЕОАЗОВСКАЯ ПЛАТФОРМЕННОЯ ОБЛАСТЬ                                      | <span style="display: inline-block; width: 10px; height: 10px; background-color: #8080ff; border: 1px solid black;"></span> Границы между метаблоками консолидированной коры  |
| <span style="display: inline-block; width: 10px; height: 10px; background-color: #8080ff; border: 1px solid black;"></span> Мезозойский осадочный чехол   | <span style="display: inline-block; width: 10px; height: 10px; background-color: #8080ff; border: 1px solid black;"></span> Границы блоков: а – достоверные, б – предполагаемые                                       |
| <span style="display: inline-block; width: 10px; height: 10px; background-color: #8080ff; border: 1px solid black;"></span> Складчатый фундамент  | <span style="display: inline-block; width: 10px; height: 10px; background-color: #8080ff; border: 1px solid black;"></span> Предполагаемые разломы: а – в осадочном чехле и складчатом фундаменте, б – в верхней коре |

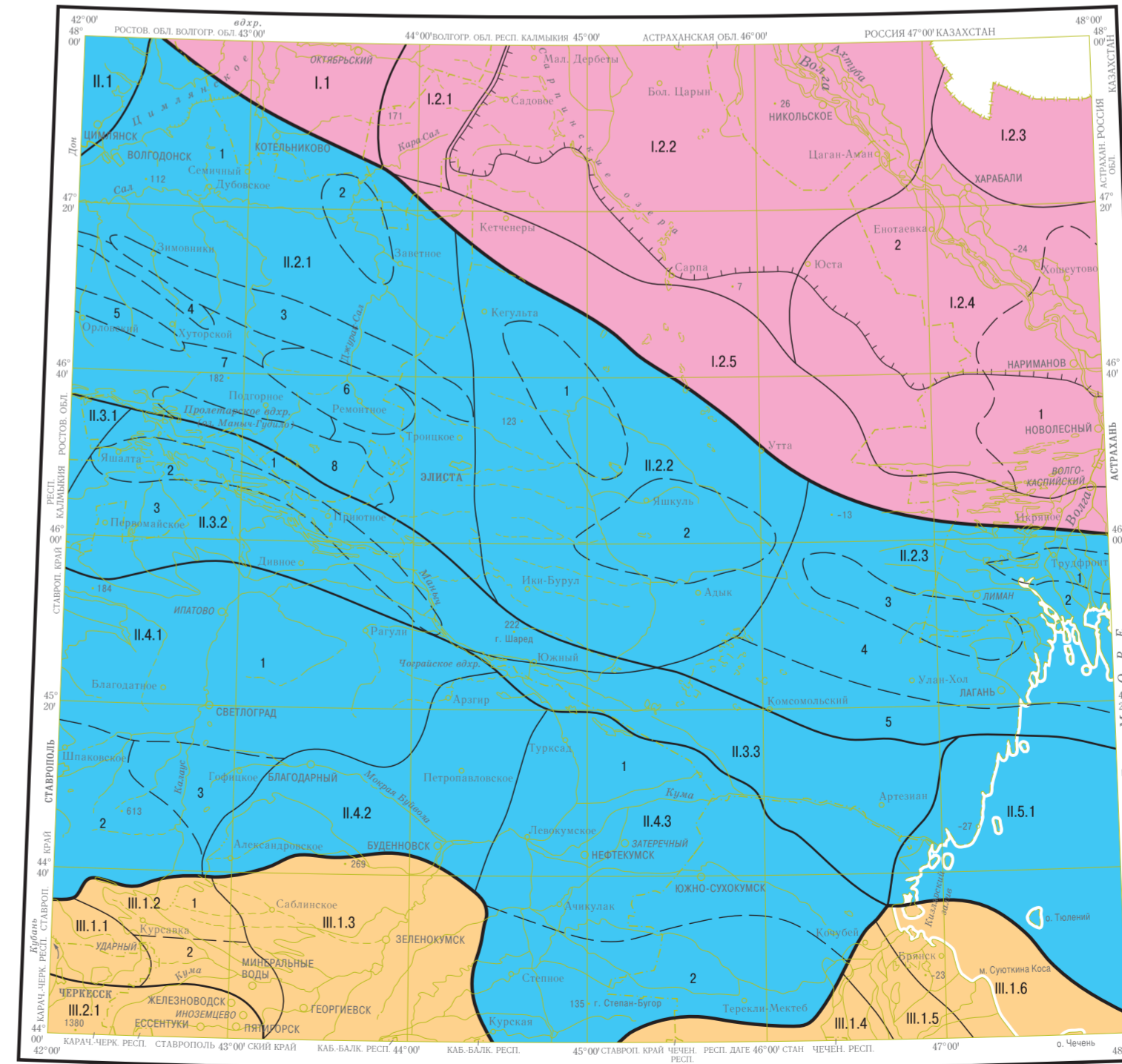
**СХЕМА ГЕОЛОГИЧЕСКОГО СТРОЕНИЯ ДЮОРСКОГО СТРУКТУРНО-ВещЕСТВЕННОГО КОМПЛЕКСА И СТРУКТУРЫ ДОКУНГУРСКОЙ И ДОМЕЗОВОЙ ПОВЕРХНОСТЕЙ**  
Масштаб 1 : 2 500 000



Авторы: И.И. Грозов, В.А. Лавренко, 2005 г.

- УСЛОВНЫЕ ОБОЗНАЧЕНИЯ**
- |   |   |
|---|---|
| <b>ДЮОРСКИЕ СТРУКТУРНО-ВещЕСТВЕННЫЕ КОМПЛЕКСЫ</b>   | <b>ТЕКТОНИЧЕСКОЕ РАЙОНИРОВАНИЕ</b>                            |
| <span style="display: inline-block; width: 10px; height: 10px; background-color: #8080ff; border: 1px solid black;"></span> Триас. Мелкозернистый, терригенно-карбонатный и осадочно-вулканический формационный комплекс  | <b>I</b> Восточно-Европейская платформа                       |
| <span style="display: inline-block; width: 10px; height: 10px; background-color: #8080ff; border: 1px solid black;"></span> Нижняя пермь-триас. Дюорский соленосный и подсолесовый комплексы  | <b>I.1</b> Воронежская антеклиза                              |
| <span style="display: inline-block; width: 10px; height: 10px; background-color: #8080ff; border: 1px solid black;"></span> Карбон-нижняя пермь. Подсолесовый комплекс  | <b>I.2</b> Прикаспийская впадина                              |
| <span style="display: inline-block; width: 10px; height: 10px; background-color: #8080ff; border: 1px solid black;"></span> Карбон. Терригенная, перригенно-карбонатная фациальная формація   | <b>I.2.1</b> Сарпинский прогиб                                |
| <span style="display: inline-block; width: 10px; height: 10px; background-color: #8080ff; border: 1px solid black;"></span> Нижний-средний карбон. Уписто-глинисто-сланцевая формація   | <b>I.2.2</b> Центрально-Сарпинская впадина                    |
| <span style="display: inline-block; width: 10px; height: 10px; background-color: #8080ff; border: 1px solid black;"></span> Нижний карбон. Терригенно-карбонатная формація  | <b>I.2.3</b> Сарпинский прогиб                                |
| <span style="display: inline-block; width: 10px; height: 10px; background-color: #8080ff; border: 1px solid black;"></span> Верхний триасовый. Гнейсо-кристаллосланцевый метаморфический комплекс   | <b>I.2.4</b> Астраханский прогиб                              |
| <span style="display: inline-block; width: 10px; height: 10px; background-color: #8080ff; border: 1px solid black;"></span> Малинский комплекс гранитов-плутонический   | <b>I.2.5</b> Караульско-Сушковская тектоническая зона         |
| <span style="display: inline-block; width: 10px; height: 10px; background-color: #8080ff; border: 1px solid black;"></span> Площади предполагаемого развития: а – метаморфизованных осадочно-вулканических толщ среднетемпературного возраста, б – гипербазитов | <b>II</b> Мизийско-Сифидо-Туранская платформа                 |
| <span style="display: inline-block; width: 10px; height: 10px; background-color: #8080ff; border: 1px solid black;"></span> Массивы и тела гранитоидов Малинского интрузивного комплекса, не выходящие на поверхность фундамента                                | <b>II.1</b> Донецкий криж (Днипровское поднятие)              |
| <span style="display: inline-block; width: 10px; height: 10px; background-color: #8080ff; border: 1px solid black;"></span> Палеозойский фундамент крижа Карпинского в аплотоне   | <b>II.2</b> Криж Карпинского                                  |
| <span style="display: inline-block; width: 10px; height: 10px; background-color: #8080ff; border: 1px solid black;"></span> Разрывные нарушения   | <b>II.2.1</b> Ремонтенский блок                               |
| Главные: а – достоверные, б – предполагаемые  | <b>II.2.1</b> Цимлянская моноклинал                           |
| Второстепенные: а – достоверные, б – предполагаемые   | <b>II.2.2</b> Завенгинское поднятие                           |
| Надвиги   | <b>II.2.3</b> Завенгинский прогиб                             |
| Стратиграфически поверхности герцинского фундамента и подсолесового комплекса, и  | <b>II.2.4</b> Кубульский вал                                  |
| Процессия краевых швов консолидированной коры Восточно-Европейской платформы и Скифской эпигерцинской плиты, выделенных по геофизическим материалам   | <b>II.2.5</b> Орловский вал                                   |
| Линейменты, осложняющие краевые швы   | <b>II.2.6</b> Элитинский вал                                  |
| Границы площадей и массивов   | <b>II.2.7</b> Гауринский прогиб                               |
|   | <b>II.2.8</b> Белоглиный вал                                  |
|   | <b>II.2.9</b> Бузгинский блок                                 |
|   | <b>II.2.10</b> Чигирское поднятие                             |
|   | <b>II.2.11</b> Троицкая зона дислокации                       |
|   | <b>II.2.12</b> Промысловский блок                             |
|   | <b>II.2.13</b> Полуреческо-Куалинский вал                     |
|   | <b>II.2.14</b> Бирюсинская зона депрессий                     |
|   | <b>II.2.15</b> Семёновско-Бирюсинская зона депрессий          |
|   | <b>II.2.16</b> Прибрежно-Каспийский наложенный прогиб         |
|   | <b>II.2.17</b> Джанкойско-Эвродская зона прогибов             |
|   | <b>II.2.18</b> Каспийско-Патанская зона поднятий              |
|   | <b>III</b> Северо-Кавказская складчато-блоковая система       |
|   | <b>III.1</b> Зона Предкавказских краевых прогибов и поднятий  |
|   | <b>III.1.1</b> Беломечетский прогиб                           |
|   | <b>III.1.2</b> Южно-Ставропольская седловина                  |
|   | <b>III.1.3</b> Водораздельная складчатая зона (седло)         |
|   | <b>III.1.4</b> Минералодовский выступ                         |
|   | <b>III.1.5</b> Чернореческо-Кабардинский краевой прогиб       |
|   | <b>III.1.6</b> Терско-Каспийский краевой прогиб               |
|   | <b>III.1.7</b> Аграханско-Суворовский вал                     |
|   | <b>III.1.8</b> Прибрежно-Каспийский наложенный прогиб         |
|   | <b>III.1.9</b> Складчато-глыбовое сооружение Большого Кавказа |
|   | <b>III.2</b> Северо-Кавказский краевой массив                 |
|   | <b>III.2.1</b> Северо-Кавказский краевой массив               |

**ТЕКТОНИЧЕСКАЯ СХЕМА ЮРСКО-ЭОЦЕНОВОГО ПЛАТФОРМЕННОГО КОМПЛЕКСА**  
Масштаб 1 : 2 500 000



Авторы: И.И. Грозов, В.А. Лавренко, 2005 г.

- УСЛОВНЫЕ ОБОЗНАЧЕНИЯ**
- |   |   |   |
|---|---|---|
| <b>I</b> Восточно-Европейская платформа               | <b>II.2</b> Бузгинский блок                           | <b>III</b> Северо-Кавказская складчато-блоковая система       |
| <b>I.1</b> Воронежская антеклиза                      | <b>II.2.1</b> Чигирское поднятие                      | <b>III.1</b> Зона Предкавказских краевых прогибов и поднятий  |
| <b>I.2</b> Прикаспийская впадина                      | <b>II.2.2</b> Троицкая зона дислокации                | <b>III.1.1</b> Беломечетский прогиб                           |
| <b>I.2.1</b> Сарпинский прогиб                        | <b>II.2.3</b> Промысловский блок                      | <b>III.1.2</b> Южно-Ставропольская седловина                  |
| <b>I.2.2</b> Центрально-Сарпинская впадина            | <b>II.2.4</b> Кубульский вал                          | <b>III.1.3</b> Водораздельная складчатая зона                 |
| <b>I.2.3</b> Сарпинский прогиб                        | <b>II.2.5</b> Орловский вал                           | <b>III.1.4</b> Минералодовский выступ                         |
| <b>I.2.4</b> Астраханский прогиб                      | <b>II.2.6</b> Элитинский вал                          | <b>III.1.5</b> Чернореческо-Кабардинский краевой прогиб       |
| <b>I.2.5</b> Караульско-Сушковская тектоническая зона | <b>II.2.7</b> Гауринский прогиб                       | <b>III.1.6</b> Терско-Каспийский краевой прогиб               |
| <b>II</b> Мизийско-Сифидо-Туранская платформа         | <b>II.2.8</b> Белоглиный вал                          | <b>III.1.7</b> Аграханско-Суворовский вал                     |
| <b>II.1</b> Донецкий криж                             | <b>II.2.9</b> Бузгинский блок                         | <b>III.1.8</b> Прибрежно-Каспийский наложенный прогиб         |
| <b>II.2</b> Криж Карпинского                          | <b>II.2.10</b> Чигирское поднятие                     | <b>III.1.9</b> Складчато-глыбовое сооружение Большого Кавказа |
| <b>II.2.1</b> Ремонтенский блок                       | <b>II.2.11</b> Троицкая зона дислокации               | <b>III.2</b> Северо-Кавказский краевой массив                 |
| <b>II.2.1</b> Цимлянская моноклинал                   | <b>II.2.12</b> Промысловский блок                     |   |
| <b>II.2.2</b> Завенгинское поднятие                   | <b>II.2.13</b> Полуреческо-Куалинский вал             |   |
| <b>II.2.3</b> Завенгинский прогиб                     | <b>II.2.14</b> Бирюсинская зона депрессий             |   |
| <b>II.2.4</b> Кубульский вал                          | <b>II.2.15</b> Семёновско-Бирюсинская зона депрессий  |   |
| <b>II.2.5</b> Орловский вал                           | <b>II.2.16</b> Прибрежно-Каспийский наложенный прогиб |   |
| <b>II.2.6</b> Элитинский вал                          | <b>II.2.17</b> Джанкойско-Эвродская зона прогибов     |   |
| <b>II.2.7</b> Гауринский прогиб                       | <b>II.2.18</b> Каспийско-Патанская зона поднятий      |   |
| <b>II.2.8</b> Белоглиный вал                          |   |   |
| <b>II.2.9</b> Бузгинский блок                         |   |   |
| <b>II.2.10</b> Чигирское поднятие                     |   |   |
| <b>II.2.11</b> Троицкая зона дислокации               |   |   |
| <b>II.2.12</b> Промысловский блок                     |   |   |
| <b>II.2.13</b> Полуреческо-Куалинский вал             |   |   |
| <b>II.2.14</b> Бирюсинская зона депрессий             |   |   |
| <b>II.2.15</b> Семёновско-Бирюсинская зона депрессий  |   |   |
| <b>II.2.16</b> Прибрежно-Каспийский наложенный прогиб |   |   |
| <b>II.2.17</b> Джанкойско-Эвродская зона прогибов     |   |   |
| <b>II.2.18</b> Каспийско-Патанская зона поднятий      |   |   |